

Сибирское отделение Российской Академии наук
ИНСТИТУТ ЯДЕРНОЙ ФИЗИКИ им.Г.И. Будкера

В.И. Юрченко

К ТЕОРИИ МНОГОКРАТНОГО РАССЕЙНИЯ I

ИЯФ 99-29

НОВОСИБИРСК
1999

К теории многократного рассеяния I

В.И. Юрченко

Институт ядерной физики им. Г.И. Будкера,
630090, Новосибирск, Россия

Аннотация

Для сечения общего вида в предположении, что угловой размер области многократного рассеяния (диффузионной области) невелик, получено кинетическое уравнение для функции распределения по переменной $q = 2 \sin(\vartheta/2)$ и найдены границы его применимости. Ограничений на углы рассеяния не накладывается. Уравнение имеет решение в виде интеграла. Показано, что решение применимо во всем диапазоне углов от 0 до 180° .

To the theory of the multiple scattering I

V.I. Yurchenko

Budker Institute of Nuclear Physics
630090, Novosibirsk, Russia

Abstract

Under assumption that angles in the multiple scattering region (diffusive region) are not large a transport equation for the distribution function of the variable $q = 2 \sin(\vartheta/2)$ is obtained and bounds of its bility are found. The solution of the equation is expressed in an integral form and is applicable for the whole range of scattered angles.

© *Институт ядерной физики
им. Г.И. Будкера СО РАН, Россия*

Теория Мольера¹ многократного рассеяния [1,2] является в настоящее время общепринятой и используется в моделировании и расчетах прохождения частиц через вещество (см., например, [3-6]). Теория использует приближение малых углов, сделана замена

$$\sin \vartheta d\vartheta \rightarrow \vartheta d\vartheta,$$

и сечение $\sigma(\delta) \sim 1/\delta^4$, δ – угол рассеяния. Найденная в [1,2] функция распределения в области малых углов близка к гауссовой $f(\vartheta) \approx 2 \exp(-\vartheta^2/\lambda^2)/\lambda^2$, т. е. описывает диффузию частиц в угловом пространстве из-за многократных столкновений с рассеянием на малые углы, соответствующая область углов в решении с характерным размером λ далее, для краткости, называется диффузионной. Кроме того, в решении можно выделить так называемую область кратного рассеяния, куда частица попадает, если среди многократной последовательности столкновений несколько из них произошло с рассеянием на большие углы, а также предельную область однократного рассеяния, когда имеется одно такое столкновение и функция распределения $f(\vartheta) \sim 1/\vartheta^4$, т.е. следует за угловой зависимостью самого сечения.

В данной работе для сечения общего вида и без привлечения приближения малых углов рассмотрено кинетическое уравнение для функции распределения по переменной

$$q = 2 \sin(\vartheta/2). \quad (1)$$

Переменная q определяет передачу импульса, сечение также может быть выражено через аналогичную переменную $\chi = 2 \sin(\delta/2)$, кроме того,

$$\sin \vartheta d\vartheta = q dq,$$

что позволяет обобщить результаты, полученные ранее в приближении малых углов. В рамках такого подхода получены решения кинетическо-

¹Краткое изложение этой теории приведено в разделе 2.

го уравнения для сечений Резерфорда и Мотта. Точность решений проконтролирована, в частности, методом Монте-Карло во всем диапазоне углов.

1 Кинетическое уравнение и его решение

Обозначим через \vec{i} – вектор направления исходных частиц (рис.1), $\sigma(\vec{n} \cdot \vec{n}') d\Omega/2\pi$ – дифференциальное сечение рассеяния частиц с первоначальным направлением \vec{n}' в телесный угол $d\Omega$ по направлению \vec{n} , $f(\vec{n} \cdot \vec{i}, t) d\Omega/2\pi$ – число частиц в телесном угле $d\Omega$ после прохождения пути t . Исходное кинетическое уравнение

$$\frac{\partial f(\vec{n} \cdot \vec{i}, t)}{\partial t} = -N f(\vec{n} \cdot \vec{i}, t) \int \sigma(\vec{n} \cdot \vec{n}') \frac{d\Omega'}{2\pi} + N \int \sigma(\vec{n} \cdot \vec{n}') f(\vec{n}' \cdot \vec{i}, t) \frac{d\Omega'}{2\pi}, \quad (2)$$

где N – число рассеивающих центров в см^3 , $d\Omega'$ соответствует направлению \vec{n}' . В уравнении все величины выражены через косинусы углов. Заметим для дальнейшего, что $d\Omega'$ – элемент поверхности единичной сферы, а интегралы в (2) можно считать интегралами по этой поверхности.

Введем векторы

$$\vec{\chi} = \vec{n} - \vec{n}', \quad \vec{q} = \vec{n} - \vec{i}, \quad \vec{q}' = \vec{n}' - \vec{i}$$

и в соответствии с (1) перейдем от переменных $\delta, \vartheta, \vartheta'$ к переменным (рис.1)

$$\chi = 2 \sin(\delta/2) = |\vec{n} - \vec{n}'|, \quad q = 2 \sin(\vartheta/2) = |\vec{n} - \vec{i}|, \quad q' = 2 \sin(\vartheta'/2) = |\vec{n}' - \vec{i}|. \quad (3)$$

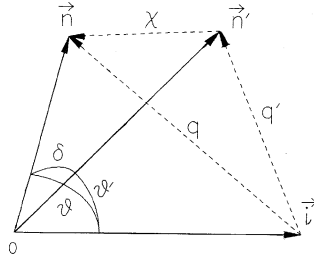


Рис. 1: Геометрическое представление переменных χ, q, q' .

При этом

$$f(\vec{n} \cdot \vec{i}, t) \sin \vartheta d\vartheta = f(q, t) q dq,$$

в правой части уравнения будет интеграл от $\sigma(\chi)(f(q') - f(q))$, величины χ , q , q' представляют собой стороны треугольника и $q' = |\vec{q} - \vec{\chi}|$. Для полярной оси Z в направлении \vec{n} $d\Omega' = \chi d\chi d\varphi$ и явная зависимость q' от q, χ, φ имеет вид

$$q'^2 = q^2 - 2(q_{\perp} \chi_{\perp} \cos \varphi + q_z \chi_z) + \chi^2,$$

$$\chi_{\perp}^2 = \chi^2(1 - \chi^2/4), \quad \chi_z = \chi^2/2, \quad \text{и} \quad q_{\perp}^2 = q^2(1 - q^2/4), \quad q_z = q^2/2.$$

Получим приближенное кинетическое уравнение, в котором интегрирование проводится по плоской области.

В интеграле $\int \sigma(\chi) f(q') \chi d\chi d\varphi$ существенны две области интегрирования: область малых значений χ и область малых q' , т. е. окрестности максимума сечения и максимума функции распределения. Расстояние между центрами этих областей – точками \vec{n} , \vec{i} , равно q (рис.1). Первая область с размером $\sim (\overline{\chi^2})^{1/2}$,

$$\overline{\chi^2} = \frac{1}{\sigma_t} \int_0^2 \chi^2 \sigma(\chi) \chi d\chi,$$

σ_t – полное сечение, описывает диффузию частиц возле направления \vec{n} . Вторая, диффузионная область решения², с размером

$$\lambda \ll 1, \tag{4}$$

в которой $f(q') \sim 1/\lambda^2 \gg 1$, – описывает рассеяние частиц, идущих под малыми углами, в направлении \vec{n} , в частности, на большие углы. Условие (4) будем считать выполненным. Рассмотрение конкретных случаев показывает, что в противном случае потери энергии частиц в веществе становятся велики и, следовательно, уравнение (2) оказывается не справедливым.

С учётом этого, при $q \ll 1$ точки, представленные векторами \vec{i} , \vec{n} , \vec{n}' , ввиду малости χ , q , q' , можно считать расположенными в плоскости,

²Здесь и далее заранее предполагается, что большая часть столкновений происходит с рассеянием на малые углы и это приводит к диффузионному размытию исходного пучка частиц в угловой области с размером $\sim \lambda$.

касательной к сферической поверхности в точке \vec{n} . Введем на плоскости цилиндрическую систему координат с центром в точке \vec{n} . Элемент поверхности $d\Omega' = \chi d\chi d\varphi = d\vec{\chi}$ и

$$\frac{\partial f(q, t)}{\partial t} = N \int \sigma(\chi) [f(|\vec{q} - \vec{\chi}|, t) - f(q, t)] \frac{d\vec{\chi}}{2\pi}. \quad (5)$$

Это кинетическое уравнение, в котором аргументы определены в соответствии с (3), а вектор \vec{q} лежит в плоскости интегрирования, будем считать исходным. Рассматриваемое приближение заключается в переходе в уравнении (2) к плоской поверхности или, что то же, к $q'^2 = q^2 - 2q\chi \cos \varphi + \chi^2$. Приближение малых углов, состоящее в замене $\chi, q \rightarrow \delta, \vartheta$, не используется и, как показывает дальнейшее рассмотрение, оказывается излишним. Область определения $f(q)$ примем бесконечной, что возможно, т.к. с условием (4) при достаточно больших q будет $f(q) \ll 1$.

Интегрируя (5) по $d\vec{q}$, получим условие нормировки, а умножая на q^2 и интегрируя по $d\vec{q}$ с заменой $q^2 d\vec{q} \rightarrow (q'^2 + 2\vec{q}' \cdot \vec{\chi} + \chi^2) d\vec{q}'$ в первом слагаемом справа, получим $\overline{q^2}$:

$$\int_0^\infty f(q) q dq = 1, \quad \overline{q^2} = \int_0^\infty f(q) q^3 dq = N t \sigma_t \overline{\chi^2}.$$

Для уравнения (2) эти интегралы имеют вид (см. раздел 2)

$$\int_0^2 f(q) q dq = 1, \quad \overline{q^2} = \int_0^2 f(q) q^3 dq = 2(1 - e^{-Q_1}), \quad Q_1 = \frac{1}{2} N t \sigma_t \overline{\chi^2}. \quad (6)$$

Пусть теперь существенные области интегрирования достаточно удалены друг от друга, $q > \lambda$, и возможность перехода к уравнению (5) не столь очевидна. Оценим ошибку правой части при переходе от (2) к (5). Считаем, что $f(q')$ достаточно плавно меняется в первой области, а $\sigma(\chi)$ – во второй. В первой области с точностью до χ^2 $f(q') \approx f(q) + \chi \partial f / \partial \chi + \frac{1}{2} \chi^2 \partial^2 f / \partial \chi^2$. После интегрирования по $d\Omega' = \chi d\chi d\varphi$ получим вклад в правую часть (2)

$$\frac{1}{4} N \sigma_t \overline{\chi^2} (\hat{L} + \hat{l}) f(q), \quad \hat{L} = \frac{1}{q} \frac{\partial}{\partial q} q \frac{\partial}{\partial q}, \quad \hat{l} = -\frac{1}{q} \frac{\partial}{\partial q} \frac{q^3}{4} \frac{\partial}{\partial q}.$$

Отметим попутно, что получающееся в этом приближении (приближение Фоккера-Планка, см., например, [7]) диффузионное уравнение приводит к тем же интегралам (6), что и уравнение (2), но при этом теряется

определяемый конкретной зависимостью $\sigma = \sigma(\chi)$ физический результат — области кратного и однократного рассеяния в решении.

Во второй области, сделав точно так же разложение $\sigma(\chi) = \sigma(|\vec{q} - \vec{q}'|)$ с точностью до q'^2 и интегрируя по $d\Omega' = q'dq'd\varphi$, получим вклад

$$N\sigma(q) + \frac{1}{4}N\overline{q^2}(\hat{L} + \hat{l})\sigma(q).$$

В аналогичных приближениях для уравнения (5) отсутствуют слагаемые с \hat{l} , которые и дают искомую оценку. Это обосновывает возможность применения уравнения (5) во всей угловой области. Во-первых, с условием (4) частицы появляются в области $q \gg \lambda$ вследствие рассеяния на большие углы. В этой области влиянием диффузии (слагаемые с \hat{L}, \hat{l}) можно пренебречь и оба уравнения для числа частиц в интервале dq на пути t дают

$$f(q, t)qdq \approx Nt\sigma(q)qdq,$$

что соответствует вероятности однократного рассеяния. Во-вторых, с уменьшением q отличие правых частей уменьшается (из-за множителя $q^2/4$ в операторе \hat{l} по сравнению с \hat{L}) и при $q \sim \lambda$ становится малым. Для $\sigma(q) \sim q^{-4}$, например, $\hat{l}\sigma(q) = -\frac{1}{8}q^2\hat{L}\sigma(q)$.

С учетом $f(q) \approx Nt\sigma(q)$, $\overline{q^2} \approx Nt\sigma_t\chi^2 = 2Q_1$, ошибка правой части оценивается, как $-NQ_1\hat{l}\sigma(q)$, что приводит к погрешности в решении $\delta f(q) \sim -N\hat{l}\sigma(q) \int_0^t Q_1 dt = -\frac{1}{4}\overline{q^2}N\hat{l}\sigma(q)$. Полагая $\overline{q^2} \sim \lambda^2$, получим

$$\delta f(q) \sim \frac{\lambda^2}{4} \frac{1}{q} \frac{\partial}{\partial q} \frac{q^3}{4} \frac{\partial}{\partial q} f(q).$$

В области, где $f(q)$ убывает быстрее $1/q^2$, величина δf положительна. В случае сечения Резерфорда $f(q) \sim q^{-4}$ и $\delta f/f \sim \lambda^2/2$. Верхняя граница значений λ определяется допустимой погрешностью. При

$$\xi = \delta f/f \sim \lambda^2/2 < 5\%, \quad \lambda_{max} \sim 0.3.$$

Для оценки δf при $q < \lambda$ воспользуемся условием нормировки :

$$\int_0^{q_0} f(q)qdq = 1 - \int_{q_0}^{\infty} f(q)qdq \sim 1, \quad \int_0^{q_0} \delta f(q)qdq = - \int_{q_0}^{\infty} \delta f(q)qdq \sim \frac{\lambda^2}{4} \left[\frac{q^3}{4} \frac{\partial f}{\partial q} \right]_{q=q_0}.$$

Здесь $q_0 \sim \lambda$ — значение q , при котором погрешность δf меняет знак, в последнем интеграле использована приведенная выше формула для δf .

Полагая при значении q меньшем или порядка λ функцию распределения близкой к гауссовой $f(q) \approx 2 \exp(-q^2/\lambda^2)/\lambda^2$, получим $\delta f(q_0) = 0$ при

$$q_0 = \sqrt{2}\lambda.$$

С учетом этого для диффузионной области найдем

$$\int_0^{q_0} \delta f(q) q dq \bigg/ \int_0^{q_0} f(q) q dq \sim \frac{\delta f}{f} \sim \frac{\lambda^2}{4} \left[\frac{q^3}{4} \frac{\partial f}{\partial q} \right]_{q=q_0} \sim -c \frac{\lambda^2}{2},$$

где $c = 2/e^2 \approx 0.3$ – числовой коэффициент.

В итоге приходим к заключению, что при $q > \lambda$ относительная погрешность $\xi(q) \sim \lambda^2/2$ и слабо зависит от q , при $q \sim \lambda$ меняет знак, а при $q < \lambda$ $\xi(q) \sim -0.3\lambda^2/2$. По поводу границ применимости отметим еще, что для уравнения (2) $q^2 \approx 2Q_1 - Q_1^2$, т. е. уравнение (5) дает завышенное значение q^2 с относительной погрешностью $\sim \lambda^2/4$.

Таким образом, при вполне допустимых ограничениях уравнение справедливо для всех углов. С бесконечной областью определения его решение осуществляется методом Фурье-Бесселя [2]. При $f(q, 0) = \delta(1 - \cos \vartheta) = \delta(q)/q$

$$f(q, t) = \int_0^\infty \eta d\eta J_0(\eta q) \exp(-Q(\eta)), \quad (7)$$

$$Q(\eta) = Nt \int_0^\infty \sigma(\chi) \chi d\chi [1 - J_0(\eta\chi)].$$

С условием (4) можно оставить, например, в сечении Резерфорда зависимость $\sigma(\chi) \sim 1/\chi^4$ при $\chi > 2$. Это уменьшает число частиц в диффузионной области из-за их рассеяния в область $\chi > 2$, что приводит к дополнительному уменьшению нормировочного интеграла $I_{norm} = \int_0^2 f(q) q dq$, равному 1 при бесконечном верхнем пределе. Эти эффекты, однако, достаточно малы и могут быть учтены корректировкой числа частиц в диффузионной области.

Отметим в заключение, что приближение малых углов (формула Мольера) получается заменой в (7) χ, q на δ, ϑ . Общий характер сечения в этом случае утрачивается.

2 Сечение Резерфорда

Для сечения Резерфорда

$$\sigma_R(\chi) = 2s^2 \kappa(\chi) / \chi^4,$$

где $s^2 = 4\pi e^4 z^2 Z(Z+1) / (pv)^2$, p – импульс, v – скорость рассеиваемой частицы с зарядом z , множитель $\kappa(\chi)$ учитывает атомный формфактор, обрезающий сечение на малых углах, можно использовать теорию Мольера ввиду совпадения формулы для $\sigma_R(\chi)$ и решения (7) с их приближениями для малых углов. Ниже дано её краткое изложение в интерпретации, соответствующей результатам раздела 1.

Исходными параметрами в этой теории являются угол обрезания χ_a и $\chi_c^2 = Nts^2$. Угол обрезания [8] $\chi_a^2 = \chi_0^2(1.13 + 3.76(Zze^2/\hbar v)^2)$, где $\chi_0 = \hbar/pa = \hbar/(p \cdot 0.885a_0 Z^{-1/3})$, a – радиус атома Ферми, a_0 – радиус Бора. Величине χ_c^2 можно придать смысл вероятности рассеяния частицы на угол $\vartheta > 60^\circ$ ($q > 1$), т.к. для больших углов

$$\int_1^\infty f(q)q dq \approx Nt \int_1^\infty \sigma_R(q)q dq = \chi_c^2.$$

Детали зависимости $\sigma_R = \sigma_R(\chi)$ на малых углах не рассматриваются, обрезание сечения учитывается посредством [1,2]

$$\int_0^k \kappa(\chi) d\chi/\chi = \ln(k/\chi_a) - \frac{1}{2} \quad \text{и} \quad \kappa(k) = 1 \quad \text{при} \quad k \gg \chi_a.$$

Такой подход возможен, если

$$\lambda \gg \chi_a. \quad (8)$$

Разбивая интеграл для Q на два $\int_0^k + \int_k^\infty$, где $\chi_a \ll k \ll \delta q$, и считая интервал δq аргумента в решении малым, $\delta q \ll \lambda$, можно ограничиться в Фурье-разложении значениями $\eta < 1/\delta q$, т.е. обрезать верхний предел в (7) величиной $1/\delta q \ll 1/\chi_a$. Тогда $k\eta \ll 1$, и, полагая в первом интеграле $1 - J_0(\eta\chi) \approx \frac{1}{4}\eta^2\chi^2$, во втором $\kappa(\chi) = 1$, получим приближение [2]

$$Q_R(\eta) = \frac{1}{4}\chi_c^2\eta^2 [b - \ln(\frac{1}{4}\chi_c^2\eta^2)], \quad (9)$$

$$b = \ln(\chi_c^2/\chi_a'^2), \quad \ln \chi_a' = \ln \chi_a - \frac{1}{2} + C, \quad C = 0.577, \quad \chi_a'^2 = 1.167\chi_a^2,$$

которое приводится к виду

$$Q_R(\eta) = \frac{u^2}{4} \left[1 - \frac{1}{B} \ln \frac{u^2}{4} \right], \quad u^2 = B \chi_c^2 \eta^2,$$

при $B - \ln B = b$.

В пренебрежении вторым слагаемым в скобках получим гауссово распределение частиц в диффузионной области

$$f(q, t) = 2 \exp(-q^2/\lambda^2)/\lambda^2$$

со среднеквадратичным значением

$$\lambda = \chi_c \sqrt{B}$$

величины q . Из $B = \ln(\lambda^2/\chi_a'^2)$, условия (8) и уравнения для B с необходимостью следует³

$$B \gg 1 \quad \text{и} \quad \chi_a \ll \chi_c \ll \lambda \ll 1,$$

где цепочка неравенств дополнена условием (4). Т.к. $\sigma_t \approx s^2/\chi_a^2$, среднее число столкновений $Nt\sigma_t \approx \chi_c^2/\chi_a^2 \gg 1$.

Сделаем замечание относительно величины λ . Уравнение для B можно заменить уравнением $\lambda^2 = \chi_c^2 \ln(\lambda^2/\chi_a'^2)$ или (с разбиением интеграла, как при получении формулы (9))

$$\lambda^2 = Nt \int_0^{\alpha\lambda} \chi^2 \sigma_R(\chi) \chi d\chi, \quad \alpha = e^{1-C} = 1.53,$$

что отличается от формулы для $\overline{q^2}$ обрезанием сечения (верхнего предела в интеграле) при $\chi = \alpha\lambda$. Как видно, с увеличением пройденного частицей пути t и сопутствующем увеличении λ в диффузионный процесс вовлекаются столкновения со всё большими углами, диапазон углов в сечении, вносящий вклад в диффузию, растет пропорционально λ . Это в некоторой степени поясняет смысл уравнения для B и показывает, что имеющиеся рекомендации по обрезанию верхнего предела величиной $\sim \hbar/pr_N$, определяемой ядерным формфактором [9] (r_N – радиус

³При $B > 1$ значение B можно найти методом последовательных приближений $B^{(n)} = b + \ln B^{(n-1)}$. Для $B^{(0)} = 1$, например, $B^{(3)} = b + \ln(b + \ln b) \approx b + (1 + 1/b) \ln b$. Возможное уточнение $\tilde{B} = b + 1/(2b^2) + (1 + 0.958/b) \ln b$ дает при $b > 2.6$ ($B > 4$) значение B с погрешностью $< 1.4 \cdot 10^{-2}\%$, а формула $B = b + \ln \tilde{B}$ – с погрешностью $< 2 \cdot 10^{-3}\%$.

ядра), верны для $\overline{q^2}$, т.е. для оценок. Для размера диффузионной области предпочтительнее формулы Мольера, т.к. в практических случаях $\alpha\lambda \ll \hbar/pr_N$.

Представляя экспоненту $\exp(-Q_R(\eta))$ и решение (7) в виде ряда по степеням $1/B$, получаем [1,2]:

$$f_R(q) \approx \frac{1}{\lambda^2} [2 \exp(-X^2) + B^{-1} f^{(1)}(X) + B^{-2} f^{(2)}(X)], \quad X = q/\lambda, \quad (10)$$

где

$$f^{(n)}(X) = \frac{1}{n!} \int_0^\infty u du J_0(Xu) \exp\left(-\frac{u^2}{4}\right) \left[\frac{u^2}{4} \ln \frac{u^2}{4}\right]^n$$

универсальные (т.е. зависящие только от X) функции. Формулы и таблицы для обычно используемых в расчетах функций $f^{(1)}, f^{(2)}$ приведены в [2]. При $q \gg \lambda$ слагаемое с

$$f^{(1)}(X) = 2 \exp(-z)(z-1)[\overline{Ei}(z) - \ln z] - 2(1 - 2 \exp(-z)), \quad z = X^2,$$

даёт основной вклад, $f^{(1)}(X) \approx 2/X^4$ и

$$f_R(q) \approx 2\chi_c^2/q^4. \quad (11)$$

С учетом $\int_0^\infty \xi d\xi f^{(n)}(\xi) = 0$ при $n \geq 1$ [1] нормировочный интеграл

$$I_{norm} = 1 - \exp(-4/\lambda^2) - B^{-1} F^{(1)}(2/\lambda) - B^{-2} F^{(2)}(2/\lambda),$$

где $F^{(n)}(X) = \int_X^\infty \xi d\xi f^{(n)}(\xi)$ и при $X \gg 1$ $F^{(1)} \approx X^{-2}$, $F^{(2)} \approx 2X^{-4} \ln X^2$.

Его отличие от 1 мало ($\sim \lambda^2/4B$) и может быть устранено поправочным множителем к диффузионной части решения.

Отметим, что формулы (9),(10) получены здесь только с учетом условия (8), условие (4) обеспечивает справедливость решения (7). При невыполнении (8) число столкновений становится небольшим, доля нерассеянных частиц $\exp(-Nt\sigma_t)$ в решении – значительной, и понятия области многократного рассеяния и её размера λ теряют смысл. Решение (7) остается справедливым, т.к. в области малых углов ($q \ll 1$) переход к плоской области интегрирования всегда возможен, а при достаточно больших значениях q уравнения (2),(5) дают близкие результаты.

Другой подход состоит в точном решении уравнения (2) в виде ряда

$$f(\vartheta, t) = \sum \frac{2l+1}{2} P_l(\cos \vartheta) \exp(-Q_l(t)), \quad (12)$$

$$Q_l(t) = \int_0^\pi Nt\sigma(\delta) \sin \delta d\delta (1 - P_l(\cos \delta)),$$

где P_l — полиномы Лежандра, $f(\vartheta, 0) = \delta(1 - \cos \vartheta)$. (Отсюда следуют приведенные выше формулы (6)). Для сечения Резерфорда [10,2]

$$Q_l \approx \frac{1}{2} \chi_c^2 \eta_l^2 \left[\ln(2/\chi_a) + \frac{1}{2} - S_l \right], \quad S_l = \frac{1}{2} \int_{-1}^1 \frac{1 - P_l(x)}{1 - x} dx = \sum_{k=1}^l \frac{1}{k}. \quad (13)$$

$$\eta_l = \sqrt{l(l+1)}.$$

Приведем ряд (12),(13) к интегральному виду. (В приближении малых углов вопрос рассматривался в [2]). Учитывая, что представление $P_l(\cos \vartheta)$ в виде гипергеометрической функции дает ряд по степеням q^2 , а для малых углов $P_l(\cos \vartheta) \approx 1 - \eta_l^2 q^2/4$, сделаем замену $P_l(\cos \vartheta) \rightarrow J_0(\eta_l q)$, с которой разложение $J_0(\eta_l q)$ для малых углов будет тем же. Заметим теперь, что для ряда (12) возможно преобразование

$$\sum_{l=0}^{\infty} \frac{2l+1}{2} g_l = \frac{1}{2} \sum_{l=0}^{\infty} \frac{1}{2} (g_{l+1} + g_l) \Delta_l, \quad \Delta_l = X_{l+1} - X_l, \quad X_l = \eta_l^2.$$

Каждое слагаемое в сумме справа — аппроксимация интеграла от $g(X)$ на участке (X_l, X_{l+1}) формулой трапеций, т.е. ряд приводится к интегралу $\frac{1}{2} \int_0^\infty g(X) dX = \int_0^\infty g(\eta) \eta d\eta$.

Таким образом, с использованием

$$\vartheta \rightarrow q, \quad \delta \rightarrow \chi, \quad \sqrt{l(l+1)} \rightarrow \eta, \quad P_l(\cos \vartheta) \rightarrow J_0(\eta q),$$

получаем общее соответствие между рядом (12) и интегралом (7), что находит подтверждение в частном случае сечения Резерфорда, т.к. учетом $S_l \approx \ln \eta_l + C + \frac{1}{6} \eta_l^{-2} + \dots$,

$$Q_l \approx \frac{1}{2} \chi_c^2 \eta_l^2 \left[\ln(2/\chi_a) + \frac{1}{2} - C - \ln \eta_l \right],$$

т.е. получаем формулу (9). Это использовано в следующем разделе в случае сечения Мотта (частиц со спином 1/2).

3 Сечение Мотта

Для сечения

$$\sigma_M(\chi) = \sigma_R(\chi) \left(1 - \frac{1}{4}\beta^2\chi^2\right), \quad \beta = v/c,$$

величину $Q(\eta)$ в (7) представим в виде $Q_M(\eta) = Q_R(\eta) + \delta Q(\eta)$, где

$$\delta Q(\eta) = Nt \int_0^\infty \delta\sigma(\chi)\chi d\chi [1 - J_0(\eta\chi)], \quad \delta\sigma(\chi) = -\frac{1}{2}s^2\beta^2\chi^{-2}.$$

Интеграл расходится, если не обрезать $\delta\sigma(\chi)$ при $\chi = 2$. Для решения в виде ряда такой проблемы не возникает и вместо (13) имеем

$$Q_l \approx \frac{1}{2}\chi_c^2\eta_l^2 [\ln(2/\chi_a) + 1/2 - S_l] + \delta Q_l, \quad \delta Q_l = -\frac{1}{2}\chi_c^2\beta^2 S_l. \quad (14)$$

Т.е. имеем ряд (12), (14) для сечения Мотта. Полагая $S_l \approx \ln \eta_l + C$, приведем его к интегральному виду (см. раздел 2). Отметим, что получающееся при этом значение $\delta Q(\eta) = -\frac{1}{2}\chi_c^2\beta^2(\ln \eta + C)$ может быть найдено посредством

$$\delta Q(\eta) = Nt \lim_{\varepsilon \rightarrow 0} \left(\int_\varepsilon^2 \delta\sigma(\chi)\chi d\chi - \int_\varepsilon^\infty \delta\sigma(\chi)J_0(\eta\chi)\chi d\chi \right),$$

т.е. с обрезанием только первого интеграла. Такое приближение оказывается достаточным для рассматриваемого случая.

После замен $u = \lambda\eta$, $X = q/\lambda$, получим

$$f_M(q) = \frac{1}{\lambda^2} \int_0^\infty u du J_0(Xu) \exp\left(-\frac{u^2}{4}\right) \cdot \exp\left(\frac{u^2}{4B} \ln \frac{u^2}{4} - \delta Q(u)\right),$$

$$\delta Q(u) = -\frac{1}{2}\chi_c^2\beta^2 \left(a + \frac{1}{2} \ln \frac{1}{4}u^2 \right), \quad a = \ln \frac{2}{\lambda} + C.$$

При этом мы имеем ввиду, что в данном случае поправка к сечению Резерфорда много меньше последнего при $\chi \leq \lambda$ и сравнима с ним при $\chi \sim 1$, т.е. существенна в области больших углов. Поэтому достаточно найти лишь поправку к функции $f^{(1)}$ в (10), которая дает основной вклад

на больших углах, а изменением величины λ и, следовательно, параметра B из-за изменения сечения можно пренебречь.

Оставим в разложении второй экспоненты под интегралом слагаемые до второго порядка по $1/B$ включительно. По $\delta Q(u)$ оставим слагаемое первого порядка, пренебрегая слагаемыми с произведениями $\delta Q(u)$ на степени $1/B$. Получим

$$f_M(q) = f_R(q) + \frac{1}{2B}\beta^2\psi(X), \quad (15)$$

$$\psi(X) = \exp(-X^2)[2a + \ln X^2 - \overline{Ei}(X^2)]. \quad (16)$$

Формула (16) следует из

$$\psi(X) = \int_0^\infty u du J_0(Xu) \exp\left(-\frac{u^2}{4}\right) \left(a + \frac{1}{2} \ln \frac{u^2}{4}\right).$$

Первое слагаемое в скобках дает $2a \exp(-X^2)$. Оставшийся интеграл $I(X)$ дифференцируем по X . После $dJ_0(Xu)/dX = (u/X)dJ_0(Xu)/du$ и интегрирования по частям приходим к уравнению $d(X^2 I(X))/d(X^2) = f^{(1)}(X)/2 - \exp(-X^2)$, решая которое получим в итоге формулу (16).

Обращает внимание, что в диффузионной области, как и ожидалось, вклад второго слагаемого в (15) $\sim B^{-1} \ln(1/\lambda)$ достаточно мал. Слагаемое с $f^{(1)}$, например, дает вклад $\sim B^{-1}\lambda^{-2}$. Основной вклад приходится на область однократного рассеяния. В этой области в первом порядке малости по χ_c^2

$$f_M(q) \approx 2\chi_c^2 \left(1 - \frac{1}{4}\beta^2 q^2\right) / q^4. \quad (17)$$

4 Метод Монте-Карло

Точность решений (10) и (15),(16) контролировалась с помощью суммирования соответствующих рядов (формулы (12),(13),(14)), а для сечения Резерфорда также решением уравнения (2) методом Монте-Карло с сечением в виде [2,8]

$$\sigma_r(\chi) = 2s^2 / (\chi^2 + \chi_a^2)$$

Полное сечение $\sigma_t = (s/\chi_a)^2 / (1 + \chi_a^2/4)$.

В методе Монте-Карло для получения с нужной статистической точностью функции распределения $f(q)$ необходимо набрать достаточное

число событий, в которых определяется случайный угол ϑ после прохождения частицей пути t . Прямой способ состоит в разыгрыше числа столкновений n на пути t по распределению Пуассона со средним

$$\bar{n} = Nt\sigma_t$$

и разыгрыше в каждом столкновении угла рассеяния δ с вычислением нового значения ϑ до тех пор, пока не будут исчерпаны все столкновения.

Для расчета δ генерируется случайное значение F интеграла от функции распределения величины $\chi = 2 \sin(\delta/2)$

$$F(\chi) = 2\chi_a^2 (1 + \chi_a^2/\chi_g^2) \int_{\chi}^{\chi_g} \chi d\chi / (\chi^2 + \chi_a^2)^2, \quad \chi_g = 2, \quad 0 \leq F \leq 1, \quad (18)$$

после чего из $F = F(\chi) = (1 - \chi^2/\chi_g^2)/(1 - \chi^2/\chi_a^2)$ имеем

$$\chi = 2 \sin \frac{\delta}{2} = \chi_a \sqrt{(1 - F)/(F + \chi_a^2/\chi_g^2)}.$$

Новое значение угла ϑ можно определить, например, из

$$q = 2 \sin \frac{\vartheta}{2} = \sqrt{r_1^2 + r_2^2 - 2r_1 r_2 \cos \nu},$$

где ν – случайный азимутальный угол, величины r_1, r_2 определяются по значению угла ϑ до столкновения

$$r_1 = 2 \cos \frac{\delta}{2} \sin \frac{\vartheta}{2}, \quad r_2 = 2 \sin \frac{\delta}{2} \cos \frac{\vartheta}{2}.$$

Такой способ достаточно эффективен для определения $f(q)$ в диффузионной области. В однократной области, где вероятность обнаружения частицы мала, получение нужной точности затруднительно. Для определения $f(q)$ во всей области можно поступить следующим образом. Разобьем область χ на интервалы (χ_{i-1}, χ_i) , $i = 1, \dots, N$, $\chi_0 = 0$, $\chi_N = 2$, а события на взаимоисключающие классы с условиями отбора : в i -м классе 1) нет столкновений с $\chi > \chi_i$, 2) имеется хотя бы одно столкновение со значением χ в i -м интервале. К 1-му классу отнесем события, для которых выполнено только условие 1). Функция распределения при этом

$$f(q) = \sum W_i f_i(q),$$

где $f_i(q)$ – функция распределения для класса с номером i , W_i – вероятность появления событий этого класса. Формулы для W_i и функций распределения по числу столкновений в классах приведены в Приложении. С разбиением на классы возможно получение гистограммы для $f(q)$

с близким к равномерному заполнением ее каналов по числу событий. При накоплении в каналах величин

$$h = \sum W_i m_i / M_i, \quad S^2 = \sum m_i (W_i / M_i)^2,$$

где M_i – число разыгранных событий i -го класса, m_i – число событий i -го класса, попавших в канал, S^2 – дисперсия h , попадание очередного события из класса i в канал приводит к добавлению к h величины W_i / M_i , а к S^2 – W_i^2 / M_i^2 . Т.е. достаточно копить две гистограммы. Величина m_i / M_i соответствует $f_i(q)$. Нормировка h и S на цену канала дает $f(q)$ и ее статистическую ошибку.

5 Обсуждение

Отметим, прежде всего, что формулы (11),(17) дают правильные вероятности редких столкновений $f(q)q dq \approx Nt\sigma(q)q dq$, т.е. полученные решения пригодны во всей области углов. На рис.2 показано сравнение ре-

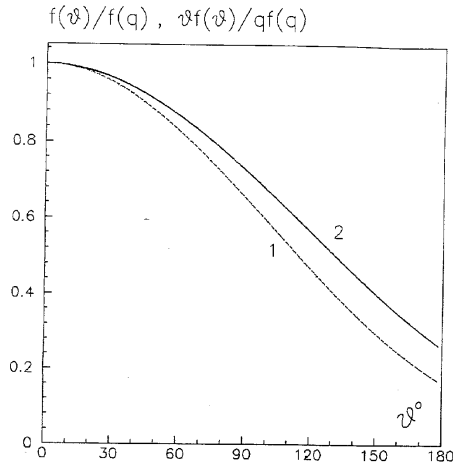


Рис. 2: Зависимость отношений 1 – $f(\vartheta)/f(q)$, 2 – $\vartheta f(\vartheta)/qf(q)$ от угла ϑ для сечения Резерфорда. Кривые рассчитаны для вариантов 1-3 таблицы 1 и для этих вариантов на рисунке неразличимы.

шения (10) с приближением малых углов для сечения Резерфорда. Различие становится заметным для больших углов, когда, в соответствии с

(11), отношения $f(\vartheta)/f(q) \approx (q/\vartheta)^4$, $\vartheta f(\vartheta)/qf(q) \approx (q/\vartheta)^3$ и достигают предельных значений $(2/\pi)^4$, $(2/\pi)^3$, соответственно, при $\vartheta = 180^\circ$. Для сечения Мотта подобное сравнение не имеет смысла, т.к. в приближении малых углов сечение становится отрицательным при $\vartheta > 120^\circ/\beta^2$.

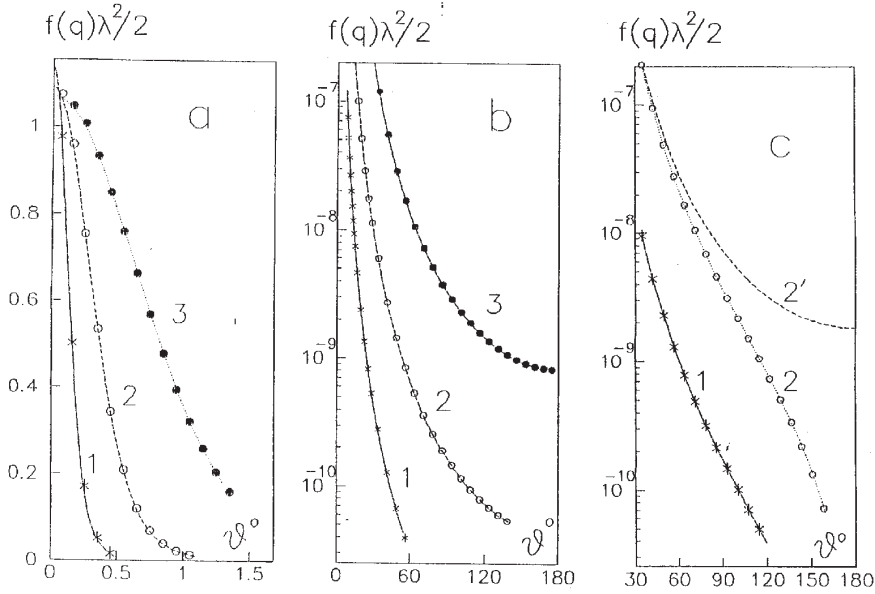


Рис. 3: Зависимость $f(q)\lambda^2/2$ от угла ϑ . а,б: кривые 1-3 – $f(q)$ по формуле (10) для вариантов 1-3 таблицы 1, точки – расчеты Монте-Карло. с: кривые 1,2 – $f(q)$ по формулам (15), (16) для вариантов 1,2 таблицы 2, точки – ряд (12), (14). Кривая 2' получена с $\psi(X)=0$.

Сравнение полученных решений с более точными результатами представлено на рис.3,4 и в таблицах 1,2. Рис.3а,б показывает согласие решения (10) с полученным в методе Монте-карло решением во всем диапазоне углов. Рис.3с – согласие решения(15),(16) с рядом (12),(14), а также отличие (15),(16) от решения (10) в области больших углов. В таблице 1 приведены данные для рассеяния π -мезонов на золоте ($Z = 79$, $A = 196.97$, ρ – плотность). ξ_{\max} , $\xi(0)$, $\xi(2)$ – максимальное и краевые значения относительного отклонения $\xi(q) = [f(q) - f_{G.S.}(q)]/f_{G.S.}(q)$ в интервале $0 \leq q \leq 2$. Здесь f – решение (10), $f_{G.S.}$ – решение (12),(13) Гоудсмита и Сандерсона. Характер зависимости $\xi = \xi(q)$ при достаточно больших B

(кривая 3 на рис.4 при $q \sim \lambda$ меняет знак) и значение $\xi(2)$ согласуется с оценками раздела 1. Максимальное значение ξ_{\max} приходится на кратную область $q/\lambda \sim 2$. Значения $\xi(0)$, ξ_{\max} с уменьшением λ вначале убывают, затем начинают возрастать. Последнее, как и характер кривых 1,2 на рис.4, объясняется недостаточным числом членов разложения в (10) при небольших значениях B . В этом случае в области многократного рассеяния погрешность решения (10) оценивается как $\xi(0) \sim f^{(3)}(0)/2B^3$, т.е. порядка первого отброшенного слагаемого, $f^{(3)}(0) = 5.94$. В кратной области ошибка больше и, поскольку

Таблица 1. Сечение Резерфорда. π -мезоны.

$$E_{kin} = 50 \text{ МэВ}, \quad \chi_a = 2.77 \cdot 10^{-4}.$$

N°	ρt г/см ²	λ	B	\bar{n}	$\xi(0)$ %	ξ_{\max} %	$\xi(2)$ %
1	0.00375	$3.51 \cdot 10^{-3}$	4.93	32.7	-5.38	5.52	-
2	0.015	$8.14 \cdot 10^{-3}$	6.61	131	-1.63	2.68	0.01
3	0.060	$1.81 \cdot 10^{-2}$	8.21	523	-0.76	1.59	0.03
4	0.24	$3.96 \cdot 10^{-2}$	9.77	$2.09 \cdot 10^3$	-0.43	1.11	0.12
5	0.4	$5.26 \cdot 10^{-2}$	10.34	$3.49 \cdot 10^3$	-0.35	1.06	0.25
6	2	0.127	12.11	$1.74 \cdot 10^4$	-0.35	1.74	1.01
7	4	0.185	12.86	$3.49 \cdot 10^4$	-0.47	3.17	2.06
8	10	0.304	13.85	$8.71 \cdot 10^4$	-0.93	8.63	5.24
9	40	0.640	15.34	$3.49 \cdot 10^5$	-3.57	50.7	38.6

здесь значение $f^{(0)}$ мало, а $f^{(1)}$, $f^{(2)}$, $f^{(3)}$ одного порядка, $\xi_{\max} \sim 1/B^2$. Полагая в однократной области $\xi \sim \lambda^2/2$, найдем, что $\xi(0) > \lambda^2/2$ при $\lambda^2 < 5.94/B^3$ или $\chi_c^2 < 5.94/B^4$, т.е. практически во всех встречающихся конкретных задачах решение в однократной области будет точнее.

Из таблицы видно, что примерное значение верхнего предела на размер диффузионной области $\lambda_{\max} \sim 0.3$. Отметим, что при $\lambda = 0.3$ нормировочный интеграл равен 0.998, а отклонение среднеквадратичного значения q в интервале $0 \leq q \leq 2$ от полученного по формуле (6) меньше 1%. С уменьшением λ точность этих величин возрастает.

Таблица 2. Сечение Мотта. Электроны.

$$E_{kin} = 15 \text{ МэВ}, \quad \chi_a = 6.89 \cdot 10^{-4}.$$

N°	$\rho t \text{ г/см}^2$	λ	B	\bar{n}	$\xi(0) \%$	$\xi_{max} \%$	$\xi(1) \%$
1	0.00375	$9.10 \cdot 10^{-3}$	5.01	34.8	-4.99	5.25	-
2	0.015	$2.10 \cdot 10^{-2}$	6.68	139	-1.57	2.61	0.06
3	0.030	$3.15 \cdot 10^{-2}$	7.49	278	-1.05	2.00	0.12
4	0.06	$4.68 \cdot 10^{-2}$	8.28	556	-0.75	1.61	0.23
5	0.12	$6.93 \cdot 10^{-2}$	9.06	$1.11 \cdot 10^3$	-0.58	1.43	0.44
6	0.24	0.102	9.84	$2.23 \cdot 10^3$	-0.50	1.51	0.90
7	0.4	0.135	10.41	$3.71 \cdot 10^3$	-0.49	1.86	1.57
8	1	0.224	11.42	$9.28 \cdot 10^3$	-0.66	4.04	4.04
9	2	0.328	12.17	$1.86 \cdot 10^4$	-1.07	8.66	8.66
10	4	0.477	12.93	$3.71 \cdot 10^4$	-1.99	16.8	16.8

Приближения (9), (13) имеют ограничения, т.к. получены при условии $\eta, l \ll 1/\chi_a$. Ряд (12) должен быть обрезан при $l < \eta_m \sim 1/\chi_a$, η_m – значение η , при котором величина $Q(\eta)$ принимает максимальное значение Q_m , иначе он расходится. С приближением (9) и бесконечным верхним пределом расходится и интеграл (7). Значение $\exp(-Q_m)$ должно быть малым. В диффузионной области, например, нужно, чтобы соответствующий η_m член разложения в (12) был мал, по сравнению с $f(0) \approx 2/\lambda^2$. Для вариантов 1-3 таблицы $1 \log_{10}[(2\eta_m + 1) \exp(-Q(\eta_m)/2f(0))]$ принимает значения $-6.1, -19, -72$, соответственно. При $q < 4\lambda$ согласие (12), (13) с методом Монте-Карло для варианта 1 еще удовлетворительное (рис.4). Это приводит к ориентировочному нижнему пределу

$$\lambda_{min}/\chi_a \sim 10,$$

но ряд не обеспечивает достаточной точности в однократной области, где $f(q)$ мало (в методе Монте-Карло для этого варианта получен верхний предел $\xi(2) < 1\%$).

Данные для рассеяния на алюминии с сечением Мотта приведены в таблице 2, где ξ – относительное отклонение (15), (16) от ряда (12), (14)

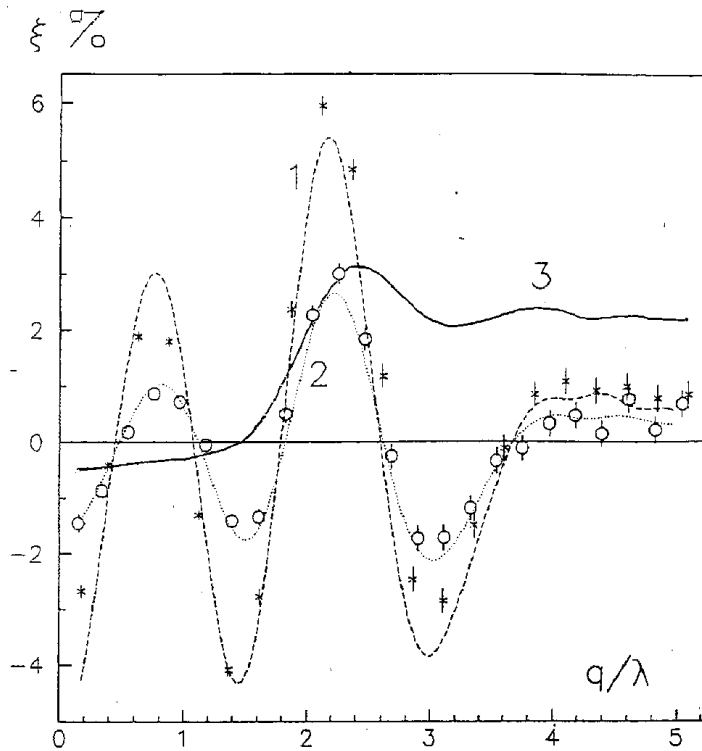


Рис. 4: Зависимость $\xi = \xi(q/\lambda)$. Кривые 1,2,3 – относительное отклонение $f(q)$ по формуле (10) от ряда (12), (13) для вариантов 1,2,7 таблицы 1, точки – отклонение от расчетов Монте-Карло для вариантов 1, 2.

в интервале $0 \leq q \leq 1$, и приводят к тем же результатам. (Сравнение при $q = 2$ здесь, ввиду очень малого значения $f(2)$ и приближенного характера решений, практически невозможно).

Отметим еще, что в рассмотренных примерах при $\lambda \sim \lambda_{\max}$ потери энергии частицами в веществе велики, т.е. при соответствующем ограничении пути частицы в веществе условие $\lambda < \lambda_{\max}$ будет выполняться.

6 Заключение

Проведенное рассмотрение показывает, что исходным для построения теории является положение о малости размера диффузионной области λ . Необходимости в приближении малых углов не возникает. Для практически интересных значений λ найденное в работе для сечения общего вида и без ограничения на углы рассеяния кинетическое уравнение применимо во всей области углов, причем результаты, полученные в приближении малых углов, обобщаются просто: заменой ϑ на $q = 2 \sin(\vartheta/2)$.

В широкой области практических значений λ полученные решения в однократной области оказались существенно точнее, чем в кратной области и области многократного рассеяния. Т.е. необходимо уточнение ряда (10) для этих областей. (Здесь мы не касаемся отдельного вопроса о точности величины χ_a , одинаково важного для всех рассмотренных решений. Отметим только, что в однократной области решение определяется в основном параметром χ_c^2).

Работа содержит общий результат — кинетическое уравнение, имеющее решение в виде интеграла, обобщение результатов, полученных ранее в приближении малых углов (сечение Резерфорда), и новый результат: функцию распределения для частиц со спином $1/2$ (сечение Мотта). Получена основа для учета ядерного формфактора и поглощения частиц в ядре. Результаты могут найти применение для учета многократного рассеяния при пошаговом проведении частиц через детектор (моделирование), когда траектория представляется в виде ломаной и на каждом малом перемещении учитываются все процессы взаимодействия.

Приложение

Обозначим через P_i вероятность попадания величины χ в отдельном столкновении в интервал $(0, \chi_i)$, через $m_i, n_i, n - m_i - n_i$ число столкновений в событии со значением χ в интервалах $(0, \chi_{i-1}), (\chi_{i-1}, \chi_i), (\chi_i, 2)$, соответственно, при общем их числе n . Вероятность получить такое событие определяется полиномиальным распределением и равна

$$\frac{n!}{m_i!n_i!(n-m_i-n_i)!} P_{i-1}^{m_i} P_i^{n_i} (1-P_i)^{n-m_i-n_i}, \quad p_i = P_i - P_{i-1}.$$

Вероятность получить событие i -го класса с числом столкновений n, n_i есть (полагаем в этой формуле $n - m_i - n_i = 0$, исключаем случай $n_i = 0$ и учитываем, что значение n в событиях распределено по Пуассону со средним значением \bar{n})

$$\omega_i(n, n_i) = e^{-\bar{n}} \frac{\bar{n}^n}{n!} \frac{n!}{(n-n_i)!n_i!} P_{i-1}^{n-n_i} (P_i^{n_i} - \delta_{0n_i}), \quad (i \neq 1)$$

δ_{0n_i} - символ Кронекера. Точно так же вероятность получить событие 1-го класса с числом столкновений n

$$\omega_1(n) = e^{-\bar{n}} \frac{1}{n!} (\bar{n}P_1)^n.$$

Полная вероятность W_i найти событие в i -м классе получается суммированием этих формул по n, n_i . При суммировании по n_i преобразуем $P_{i-1}^{n-n_i} P_i^{n_i} = P_i^n a^{n-n_i} b_i^{n_i}$, ($a + b = 1$), и, учитывая, что сумма вероятностей в биномиальном распределении равна 1, получим

$$\sum_{n_i} \omega_i(n, n_i) = e^{-\bar{n}} \frac{\bar{n}^n}{n!} (P_i^n - P_{i-1}^n), \quad i \neq 1.$$

После суммирования по n , с учетом равенства 1 суммы вероятностей в распределении Пуассона, получаем

$$W_1 = \exp(-\bar{n}(1-P_1)), \quad W_i = \exp(-\bar{n}(1-P_i)) - \exp(-\bar{n}(1-P_{i-1})), \quad i \neq 1.$$

Т.к. $1 - P_i = F_i = F(\chi_i)$, $F(\chi_i)$ определено формулой (18) при $\chi_g = 2$, окончательно получим

$$W_1 = \exp(-\bar{n}F_1), \quad W_i = \exp(-\bar{n}F_i) - \exp(-\bar{n}F_{i-1}), \quad i = 2, \dots, N.$$

Отметим, что $F_N = 0$, следовательно, $\sum W_i = 1$, т.е. разбиение на классы охватывает всю совокупность событий.

Число столкновений в событиях 1-го класса, как показывает формула для $\omega_1(n)$, нормированная на 1 (деленная на W_1), распределено по Пуассону со средним $\bar{n}(1 - F_1)$. В этом классе значения χ в столкновениях разыгрываются в интервале $(0, \chi_i)$ в соответствии с формулой (18), в которой $\chi_g = \chi_i$. Для остальных классов число столкновений в событии определим как $n = m_i + n_i$. Переходя в формуле для $\omega(n, n_i)$ к переменным m_i, n_i , получим, что вероятность появления в i -ом классе значений m_i, n_i пропорциональна произведению двух множителей

$$\sim \frac{a^{m_i}}{m_i!} \left(\frac{b^{n_i}}{n_i!} - \delta_{0n_i} \right) \sim e^{-a} \frac{a^{m_i}}{m_i!} \left(e^{-b} \frac{b^{n_i}}{n_i!} - e^{-b} \delta_{0n_i} \right), \quad a = \bar{n}P_{i-1}, \quad b = \bar{n}p_i.$$

Т.е. m_i распределено по Пуассону со средним $\bar{n}(1 - F_{i-1})$, а n_i по Пуассону со средним $\bar{n}(F_{i-1} - F_i)$ и исключением случая $n_i = 0$. После розыгрыша m_i, n_i разыгрываются n столкновений, среди которых случайно и равномерно разыгрываются n_i столкновений с попаданием χ в интервал (χ_{i-1}, χ) . В остальных m_i столкновениях значения χ разыгрываются в интервале $(0, \chi_{i-1})$.

Литература

- [1] *G. Moliere*. Z. Naturforsch., **3a**, 78 (1948).
- [2] *H. A. Bethe*. Phys. Rev., **89**, 256 (1953).
- [3] *А.Д. Букин, В. Н. Иванченко, М. Ю. Лельчук и др.* Препринт ИЯФ СО АН СССР 84-33 (1984).
- [4] *А.Д. Букин, Н.А. Грозина, М.С. Дубровин и др.* Препринт ИЯФ СО АН СССР 94-20 (1994).
- [5] *R. Brun, F. Bruyant, M. Maire, et al.* GEANT3, CERN preprint DD/EE/84-1, Geneve (1987).
- [6] *Н.Ф. Шульга, С.Н. Фомин*. ЖЭТФ **113**, 58, (1998).
- [7] *В.Г. Левич, Ю.А. Вдовин, В.А. Мямлин*. Курс теоретической физики, т. II, Наука, Москва (1971).
- [8] *G. Moliere*, Z. Naturforsch. **2a**, 133 (1947).
- [9] *Б. Росси, К. Грейзен*. Взаимодействие космических лучей с веществом, ИЛ, Москва (1948).
B. Rossi, K. Greisen. Reviews of Modern Physics, **13**, 240 (1941).
- [10] *S.A. Goudsmit and J. L. Saunderson*. Phys. Rev., **57**, 24 and **58**, 36 (1940).